

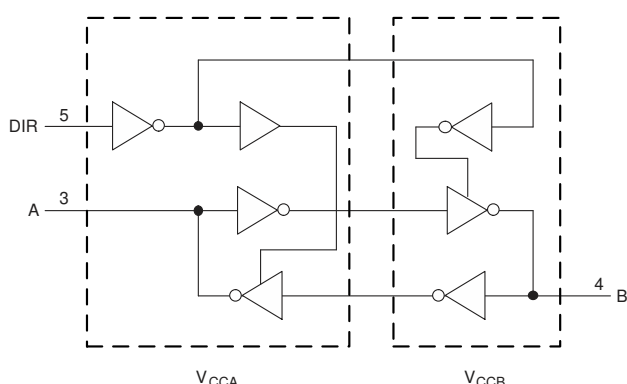
SN74AXC1T45-Q1 構成可能な電圧変換およびトライステート出力搭載の車載認定済みシングルビット、デュアル電源バス トランシーバ

1 特長

- 車載アプリケーション向けに AEC-Q100 認定済み
- 完全に構成可能なデュアルレール設計により、各ポートは 0.65V～3.6V の範囲の電源電圧で動作可能
- 動作温度: -40°C～+125°C
- グリッチの発生しない電源シーケンシング
- 最大静止電流 ($I_{CCA} + I_{CCB}$): 10µA (最高 85°C) および 16µA (最高 125°C)
- 1.8V から 3.3V への変換時に最高 500Mbps をサポート
- V_{CC} 絶縁機能
 - どちらかの V_{CC} 入力が 100mV を下回ると、すべての I/O 出力がディセーブルになり、高インピーダンス状態に移行
- I_{off} により部分的パワーダウン モードでの動作をサポート
- JESD 78、Class II 準拠で 100mA 超のラッチアップ性能
- JESD 22 を上回る ESD 保護:
 - 人体モデルで 8000V
 - 荷電デバイス モデルで 1000V

2 アプリケーション

- ADAS フュージョン
- ADAS フロントカメラ
- HEV バッテリ管理システム
- インフォテインメント用ヘッド ユニット



機能ブロック図

3 概要

SN74AXC1T45-Q1 は、個別に構成可能な 2 つの電源レールを使用した、AEC-Q100 認定済みシングルビット非反転バストランシーバです。 V_{CCA} 電源と V_{CCB} 電源の両方が最低 0.65V で動作します。A ポートは V_{CCA} (0.65V ~3.6V の任意の電源電圧を入力できます) に追従するように設計されています。同様に B ポートは V_{CCB} (0.65V ~3.6V の任意の電源電圧を入力できます) に追従するように設計されています。さらに、SN74AXC1T45-Q1 は単一電源システムにも対応しています。

信号伝搬の方向は DIR ピンを使用して制御します。DIR ピンを HIGH に設定するとポート A からポート B への変換になり、DIR ピンを LOW に設定するとポート B からポート A への変換になります。DIR ピンは V_{CCA} を基準とするから、そのロジック HIGH とロジック LOW のスレッショルドは V_{CCA} に追従します。

このデバイスは、 I_{off} 電流を使用する部分的パワーダウン アプリケーション用に完全に動作が規定されています。 I_{off} 保護回路により、電源切断時に入力、出力、複合 I/O を指定の電圧にバイアスするように設計されており、それらとの間に過剰な電流が流れることはできません。

V_{CC} 絶縁機能により、 V_{CCA} と V_{CCB} のどちらかが 100mV を下回ると、両方の出力がディセーブルになるように設計されており、両方の I/O ポートが高インピーダンス状態に移行します。

グリッチの発生しない電源シーケンシングにより、堅牢な電源シーケンシング性能が得られると同時に、どちらの電源レールも任意の順序で電源オン / オフできます。

パッケージ情報

| 部品番号 | パッケージ ⁽¹⁾ | パッケージ サイズ ⁽²⁾ |
|----------------|----------------------|--------------------------|
| SN74AXC1T45-Q1 | DCK (SC70, 6) | 2mm × 2.1mm |
| | DRY (SON, 6) | 1.45mm × 1mm |

(1) 詳細については、[セクション 11](#) を参照してください。

(2) パッケージ サイズ (長さ×幅) は公称値であり、該当する場合はピンも含まれます。



このリソースの元の言語は英語です。翻訳は概要を便宜的に提供するもので、自動化ツール（機械翻訳）を使用していることがあり、TI では翻訳の正確性および妥当性につきましては一切保証いたしません。実際の設計などの前には、ti.com で必ず最新の英語版をご参照くださいますようお願いいたします。

目次

| | | | |
|------------------------------------|----|------------------------|----|
| 1 特長 | 1 | 7.3 機能説明 | 13 |
| 2 アプリケーション | 1 | 7.4 デバイスの機能モード | 14 |
| 3 概要 | 1 | 8 アプリケーションと実装 | 15 |
| 4 ピン構成および機能 | 2 | 8.1 アプリケーション情報 | 15 |
| 5 仕様 | 3 | 8.2 代表的なアプリケーション | 15 |
| 5.1 絶対最大定格 | 3 | 8.3 電源に関する推奨事項 | 17 |
| 5.2 ESD 定格 | 3 | 8.4 レイアウト | 17 |
| 5.3 推奨動作条件 | 4 | 9 デバイスおよびドキュメントのサポート | 19 |
| 5.4 熱に関する情報 | 4 | 9.1 ドキュメントのサポート | 19 |
| 5.5 電気的特性 | 6 | 9.2 ドキュメントの更新通知を受け取る方法 | 19 |
| 5.6 動作特性: $T_A = 25^\circ\text{C}$ | 7 | 9.3 サポート・リソース | 19 |
| 5.7 代表的特性 | 8 | 9.4 商標 | 19 |
| 6 パラメータ測定情報 | 11 | 9.5 静電気放電に関する注意事項 | 19 |
| 6.1 負荷回路および電圧波形 | 11 | 9.6 用語集 | 19 |
| 7 詳細説明 | 13 | 10 改訂履歴 | 19 |
| 7.1 概要 | 13 | 11 メカニカル、パッケージ、および注文情報 | 20 |
| 7.2 機能ブロック図 | 13 | | |

4 ピン構成および機能

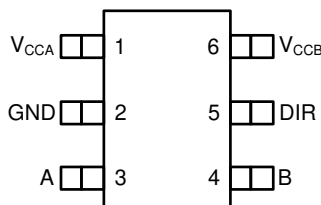


図 4-1. DCK パッケージ、6 ピン SC70 (上面図)

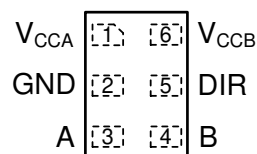


図 4-2. DRY パッケージ、6 ピン SON トランスペアレンント (上面図)

表 4-1. ピンの機能

| ピン | | タイプ ⁽¹⁾ | 説明 |
|------------------|----|--------------------|--|
| 名称 | 番号 | | |
| V _{CCA} | 1 | — | A ポートの電源電圧。 $0.65\text{V} \leq V_{CCA} \leq 3.6\text{V}$ |
| GND | 2 | — | グランド |
| A | 3 | I/O | 入力 / 出力 A。このピンは V _{CCA} を基準としています。 |
| B | 4 | I/O | 入力 / 出力 B。このピンは V _{CCB} を基準としています。 |
| DIR | 5 | I | 方向制御信号。機能に関しては、「デバイスの機能モード」セクションを参照してください。 |
| V _{CCB} | 6 | — | B ポートの電源電圧。 $0.65\text{V} \leq V_{CCB} \leq 3.6\text{V}$ |

(1) I = 入力、O = 出力

5 仕様

5.1 絶対最大定格

自由気流での動作温度範囲内 (特に記述のない限り)⁽¹⁾

| | | | 最小値 | 最大値 | 単位 |
|-----------|---|-----------------|----------------------|-----|----|
| V_{CCA} | 電源電圧 A | | -0.5 | 4.2 | V |
| V_{CCB} | 電源電圧 B | | -0.5 | 4.2 | V |
| V_I | 入力電圧 ⁽²⁾ | I/O ポート (A ポート) | -0.5 | 4.2 | V |
| | | I/O ポート (B ポート) | -0.5 | 4.2 | |
| | | 制御入力 | -0.5 | 4.2 | |
| V_O | 高インピーダンスまたは電源オフ状態で出力に印加される電圧 ⁽²⁾ | A ポート | -0.5 | 4.2 | V |
| | | B ポート | -0.5 | 4.2 | |
| V_O | High または Low 状態で出力に印加される電圧 ^{(2) (3)} | A ポート | -0.5 $V_{CCA} + 0.2$ | | V |
| | | B ポート | -0.5 $V_{CCB} + 0.2$ | | |
| I_{IK} | 入力クランプ電流 | $V_I < 0$ | -50 | | mA |
| I_{OK} | 出力クランプ電流 | $V_O < 0$ | -50 | | mA |
| I_o | 連続出力電流 | | -50 | 50 | mA |
| | V_{CC} または GND を通過する連続電流 | | -100 | 100 | mA |
| T_J | 接合部温度 | | | 150 | °C |
| T_{STG} | 保管温度 | | -65 | 150 | °C |

- (1) 絶対最大定格を上回るストレスが加わった場合、デバイスに永続的な損傷が発生する可能性があります。これはストレスの定格のみについての話で、絶対最大定格において、またはこのデータシートの「推奨動作条件」に示された値を超える他のいかなる条件でも、本製品が正しく動作することを暗に示すものではありません。絶対最大定格の状態が長時間続くと、デバイスの信頼性に影響を与える可能性があります。
- (2) 入力電流と出力電流の定格を順守しても、入力電圧と出力の負電圧の定格を超えることがあります。
- (3) 出力電流の定格を順守しても、出力の正電圧の定格を最大 4.2V 超過することがあります。

5.2 ESD 定格

| | | | 値 | 単位 |
|-------------|------|--|-------|----|
| $V_{(ESD)}$ | 静電放電 | 人体モデル (HBM), AEC Q100-002 に準拠 ⁽¹⁾ | ±8000 | V |
| | | 荷電デバイス モデル (CDM), AEC Q100-011 準拠 | ±1000 | |

- (1) AEC Q100-002 は、HBM ストレス試験を ANSI / ESDA / JEDEC JS-001 仕様に従って実施することを示しています。

5.3 推奨動作条件

自由気流での動作温度範囲内 (特に記述のない限り)^{(1) (2) (3)}

| | | | 最小値 | 最大値 | 単位 |
|------------------|---------------------|---|----------------------------------|-------------------------|------|
| V _{CCA} | 電源電圧 A | | 0.65 | 3.6 | V |
| V _{CCB} | 電源電圧 B | | 0.65 | 3.6 | V |
| V _{IH} | High レベル入力電圧 | データ入力 | V _{CCI} = 0.65V~0.75V | V _{CCI} × 0.70 | V |
| | | | V _{CCI} = 0.76V~1 V | V _{CCI} × 0.70 | |
| | | | V _{CCI} = 1.1 V~1.95V | V _{CCI} × 0.65 | |
| | | | V _{CCI} = 2.3V~2.7V | 1.6 | |
| | | | V _{CCI} = 3V~3.6V | 2 | |
| | | 制御入力 (DIR) (V _{CCA} を基準とする) | V _{CCA} = 0.65V~0.75V | V _{CCA} × 0.70 | |
| | | | V _{CCA} = 0.76V~1 V | V _{CCA} × 0.70 | |
| | | | V _{CCA} = 1.1 V~1.95V | V _{CCA} × 0.65 | |
| | | | V _{CCA} = 2.3V~2.7V | 1.6 | |
| | | | V _{CCA} = 3V~3.6V | 2 | |
| V _{IL} | Low レベル入力電圧 | データ入力 | V _{CCI} = 0.65V ~ 0.75V | V _{CCI} × 0.30 | V |
| | | | V _{CCI} = 0.76V ~ 1 V | V _{CCI} × 0.30 | |
| | | | V _{CCI} = 1.1 V ~ 1.95V | V _{CCI} × 0.35 | |
| | | | V _{CCI} = 2.3V ~ 2.7V | 0.7 | |
| | | | V _{CCI} = 3V ~ 3.6V | 0.8 | |
| | | 制御入力 (DIR) (V _{CCA} を基準とする) | V _{CCA} = 0.65V~0.75V | V _{CCA} × 0.30 | |
| | | | V _{CCA} = 0.76V~1 V | V _{CCA} × 0.30 | |
| | | | V _{CCA} = 1.1 V~1.95V | V _{CCA} × 0.35 | |
| | | | V _{CCA} = 2.3V~2.7V | 0.7 | |
| | | | V _{CCA} = 3V~3.6V | 0.8 | |
| V _I | 入力電圧 ⁽³⁾ | | 0 | 3.6 | V |
| V _O | 出力電圧 | アクティブ状態 | 0 | V _{CCO} | V |
| | | トライステート | 0 | 3.6 | |
| Δt/Δv | 入力遷移レート | | | 100 | ns/V |
| T _A | 自由空気での動作温度 | | -40 | 125 | °C |

- (1) V_{CCI} は入力ポートに関連付けられた VCC です。
- (2) V_{CCO} は出力ポートに関連付けられた VCC です。
- (3) デバイスが適切に動作するように、デバイスの未使用の入力はすべて、VCC または GND に固定する必要があります。テキサス・インスツルメンツのアプリケーション レポート『低速またはフローティング CMOS 入力の影響』を参照してください。

5.4 热に関する情報

| 熱評価基準 ⁽¹⁾ | | SN74AXC1T45-Q1 | | 単位 |
|-----------------------|---------------------|----------------|-----------|------|
| | | DCK (SC70) | DRY (SON) | |
| | | 6 ピン | 6 ピン | |
| R _{θJA} | 接合部から周囲への熱抵抗 | 235.3 | 305.2 | °C/W |
| R _{θJC(top)} | 接合部からケース (上面) への熱抵抗 | 160.5 | 202.2 | °C/W |
| R _{θJB} | 接合部から基板への熱抵抗 | 76.9 | 181.1 | °C/W |
| Ψ _{JT} | 接合部から上面への特性パラメータ | 59.7 | 41.9 | °C/W |

| 熱評価基準 ⁽¹⁾ | SN74AXC1T45-Q1 | | 単位 |
|------------------------------|-----------------------|------------------|------|
| | DCK (SC70) | DRY (SON) | |
| | 6 ピン | 6 ピン | |
| Ψ_{JB} 接合部から基板への特性パラメータ | 77.1 | 180.0 | °C/W |

- (1) 従来および最新の熱測定基準の詳細については、アプリケーションレポート『半導体およびICパッケージの熱評価基準』、[SPRA953](#) を参照してください。

5.5 電気的特性

自由気流での動作温度範囲内 (特に記述のない限り) (1) (2)

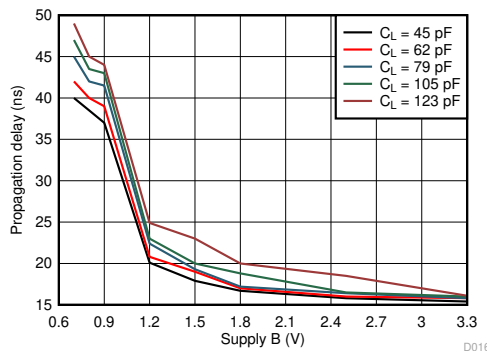
| パラメータ | テスト条件 | V_{CCA} | V_{CCB} | 自由気流での動作温度 (T_A) | | | | 単位 | | |
|---------------------|------------------|---|---|----------------------|------------|-----------------|-----------------|------|-----|---------|
| | | | | -40°C~85°C | | -40°C~125°C | | | | |
| | | | | 最小値 | 代表値 (3) | 最大値 | 最小値 | 代表値 | 最大値 | |
| V_{OH} | High レベル出力電圧 | $V_I = V_{IH}$ | $I_{OH} = -100\mu A$ $I_{OH} = -50\mu A$ $I_{OH} = -200\mu A$ $I_{OH} = -500\mu A$ $I_{OH} = -3mA$ $I_{OH} = -6mA$ $I_{OH} = -8mA$ $I_{OH} = -9mA$ $I_{OH} = -12mA$ | 0.7V~3.6V | 0.7V~3.6V | $V_{CCO} - 0.1$ | $V_{CCO} - 0.1$ | V | | |
| | | | | 0.65V | 0.65V | 0.55 | 0.55 | | | |
| | | | | 0.76V | 0.76V | 0.58 | 0.58 | | | |
| | | | | 0.85V | 0.85V | 0.65 | 0.65 | | | |
| | | | | 1.1V | 1.1V | 0.85 | 0.85 | | | |
| | | | | 1.4V | 1.4V | 1.05 | 1.05 | | | |
| | | | | 1.65V | 1.65V | 1.2 | 1.2 | | | |
| | | | | 2.3V | 2.3V | 1.75 | 1.75 | | | |
| | | | | 3V | 3V | 2.3 | 2.3 | | | |
| V_{OL} | Low レベル出力電圧 | $V_I = V_{IL}$ | $I_{OL} = 100\mu A$ $I_{OL} = 50\mu A$ $I_{OL} = 200\mu A$ $I_{OL} = 500\mu A$ $I_{OL} = 3mA$ $I_{OL} = 6mA$ $I_{OL} = 8mA$ $I_{OL} = 9mA$ $I_{OL} = 12mA$ | 0.7V~3.6V | 0.7V~3.6V | 0.1 | 0.1 | V | | |
| | | | | 0.65V | 0.65V | 0.1 | 0.1 | | | |
| | | | | 0.76V | 0.76V | 0.18 | 0.18 | | | |
| | | | | 0.85V | 0.85V | 0.2 | 0.2 | | | |
| | | | | 1.1V | 1.1V | 0.25 | 0.25 | | | |
| | | | | 1.4V | 1.4V | 0.35 | 0.35 | | | |
| | | | | 1.65V | 1.65V | 0.45 | 0.45 | | | |
| | | | | 2.3V | 2.3V | 0.55 | 0.55 | | | |
| | | | | 3V | 3V | 0.7 | 0.7 | | | |
| I_I | 入力リーク電流 | 制御入力 (DIR): $V_I = V_{CCA}$ または GND A または B ポート: $V_I = V_{CCI}$ または GND | $V_I = V_{CCA}$ または GND | 0.65V~3.6V | 0.65V~3.6V | -1 | 1 | -1.5 | 1.5 | μA |
| | | | | 0.65V~3.6V | 0.65V~3.6V | -4 | 4 | -8 | 8 | |
| I_{off} | 部分的パワー ダウン電流 | A または B ポート: V_I または $V_O = 0V$ ~3.6V | $V_I = V_{CCI}$ または GND | 0V | 0V~3.6V | -5 | 5 | -7.5 | 7.5 | μA |
| | | | | 0V~3.6V | 0V | -5 | 5 | -7.5 | 7.5 | |
| I_{CCA} | V_{CCA} の電源電流 | $V_I = V_{CCI}$ または GND | $I_O = 0$ | 0.65V~3.6V | 0.65V~3.6V | 8 | 8 | 12 | 12 | μA |
| | | | | 0V | 3.6V | -2 | -2 | -8 | -8 | |
| | | | | 3.6V | 0V | 2 | 2 | 8 | 8 | |
| I_{CCB} | V_{CCB} の電源電流 | $V_I = V_{CCI}$ または GND | $I_O = 0$ | 0.65V~3.6V | 0.65V~3.6V | 8 | 8 | 12 | 12 | μA |
| | | | | 0V | 3.6V | 2 | 2 | 8 | 8 | |
| | | | | 3.6V | 0V | -2 | -2 | -8 | -8 | |
| $I_{CCA} + I_{CCB}$ | 複合電源電流 | $V_I = V_{CCI}$ または GND | $I_O = 0$ | 0.65V~3.6V | 0.65V~3.6V | 10 | 10 | 16 | 16 | μA |
| C_I | 制御入力容量 | $V_I = 3.3V$ または GND | | 3.3V | 3.3V | 4.4 | 4.4 | pF | pF | |
| C_{IO} | データ I/O 容量、A ポート | $V_O = 1.65V$ DC +1MHz -16 dBm 正弦波 | | 3.3V | 0V | 5 | 5 | pF | pF | |
| C_{IO} | データ I/O 容量、B ポート | $V_O = 1.65V$ DC +1MHz -16 dBm 正弦波 | | 0V | 3.3V | 5 | 5 | pF | pF | |

- (1) V_{CCI} は入力ポートに関連付けられた VCC です。
- (2) V_{CCO} は出力ポートに関連付けられた VCC です。
- (3) 標準的なデータはすべて 25°C で取得されています。

5.6 動作特性 : $T_A = 25^\circ\text{C}$

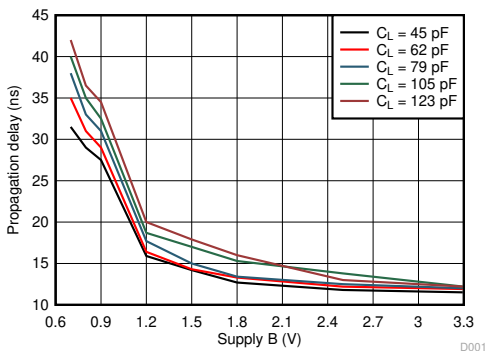
| パラメータ | | テスト条件 | V_{CCA} | V_{CCB} | 最小値 | 代表値 | 最大値 | 単位 |
|-----------|------------------------------|---|-----------|-----------|-----|------|-----|----|
| C_{pdA} | トランシーバあたりの電力散逸容量 (A から B) | $C_L = 0, R_L = \text{Open}, f = 1\text{MHz}, t_r = t_f = 1\text{ns}$ | 0.7V | 0.7V | | 1.3 | | pF |
| | | | 0.8V | 0.8V | | 1.3 | | |
| | | | 0.9V | 0.9V | | 1.3 | | |
| | | | 1.2V | 1.2V | | 1.3 | | |
| | | | 1.5V | 1.5V | | 1.3 | | |
| | | | 1.8V | 1.8V | | 1.4 | | |
| | | | 2.5V | 2.5V | | 1.7 | | |
| | | | 3.3V | 3.3V | | 2.1 | | |
| | トランシーバあたりの電力散逸容量 (B から A) | $C_L = 0, R_L = \text{Open}, f = 1\text{MHz}, t_r = t_f = 1\text{ns}$ | 0.7V | 0.7V | | 9.2 | | pF |
| | | | 0.8V | 0.8V | | 9.4 | | |
| | | | 0.9V | 0.9V | | 9.4 | | |
| | | | 1.2V | 1.2V | | 9.8 | | |
| | | | 1.5V | 1.5V | | 10.1 | | |
| | | | 1.8V | 1.8V | | 11.0 | | |
| C_{pdB} | トランシーバあたりの電力散逸容量 (A から B) | $C_L = 0, R_L = \text{Open}, f = 1\text{MHz}, t_r = t_f = 1\text{ns}$ | 0.7V | 0.7V | | 9.2 | | pF |
| | | | 0.8V | 0.8V | | 9.3 | | |
| | | | 0.9V | 0.9V | | 9.4 | | |
| | | | 1.2V | 1.2V | | 9.7 | | |
| | | | 1.5V | 1.5V | | 10.1 | | |
| | | | 1.8V | 1.8V | | 11.0 | | |
| | | | 2.5V | 2.5V | | 14.4 | | |
| | | | 3.3V | 3.3V | | 18.3 | | |
| | トランシーバあたりの電力散逸容量 (B から A) | $C_L = 0, R_L = \text{Open}, f = 1\text{MHz}, t_r = t_f = 1\text{ns}$ | 0.7V | 0.7V | | 1.3 | | pF |
| | | | 0.8V | 0.8V | | 1.3 | | |
| | | | 0.9V | 0.9V | | 1.3 | | |
| | | | 1.2V | 1.2V | | 1.3 | | |
| | | | 1.5V | 1.5V | | 1.3 | | |
| | | | 1.8V | 1.8V | | 1.4 | | |

5.7 代表的特性



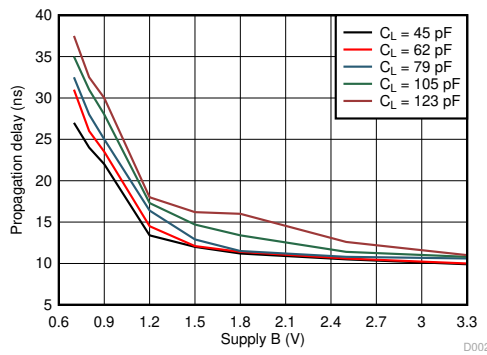
$T_A = 25^\circ\text{C}$ $V_{CCA} = 0.7\text{V}$

図 5-1. Low から High への標準的な伝搬遅延
(A から B) と負荷容量との関係



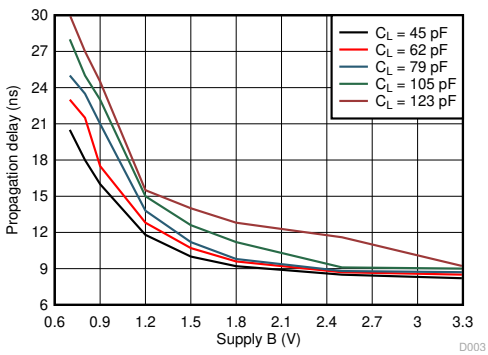
$T_A = 25^\circ\text{C}$ $V_{CCA} = 0.8\text{V}$

図 5-2. Low から High への標準的な伝搬遅延
(A から B) と負荷容量との関係



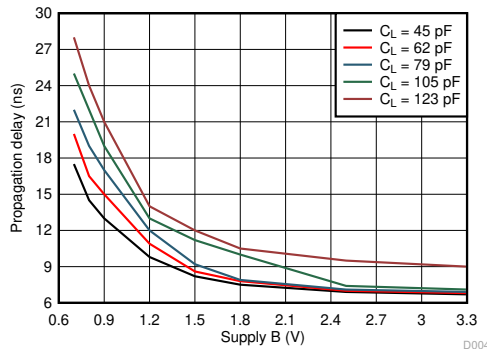
$T_A = 25^\circ\text{C}$ $V_{CCA} = 0.9\text{V}$

図 5-3. Low から High への標準的な伝搬遅延
(A から B) と負荷容量との関係



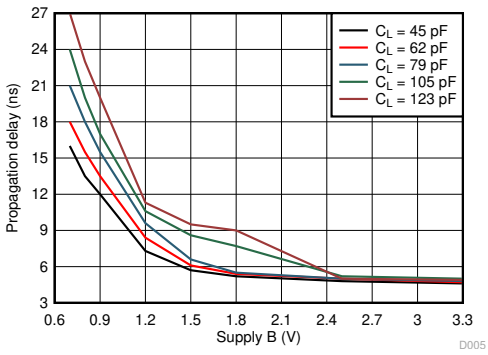
$T_A = 25^\circ\text{C}$ $V_{CCA} = 1.2\text{V}$

図 5-4. Low から High への標準的な伝搬遅延
(A から B) と負荷容量との関係



$T_A = 25^\circ\text{C}$ $V_{CCA} = 1.5\text{V}$

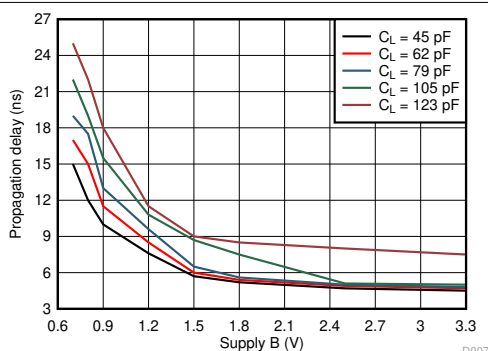
図 5-5. Low から High への標準的な伝搬遅延
(A から B) と負荷容量との関係



$T_A = 25^\circ\text{C}$ $V_{CCA} = 1.8\text{V}$

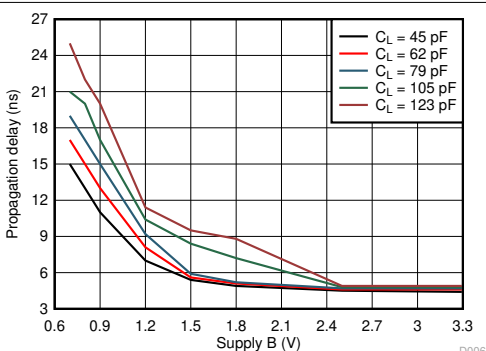
図 5-6. 「Low」 から 「High」 への標準的な伝搬遅延
(A から B) と負荷容量との関係

5.7 代表的特性 (続き)



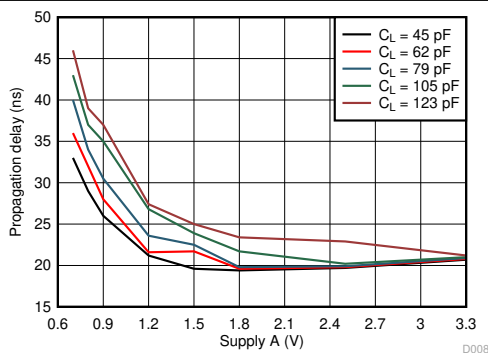
$T_A = 25^\circ\text{C}$ $V_{CCA} = 3.3\text{V}$

図 5-7. 「Low」から「High」への標準的な伝搬遅延
(A から B) と負荷容量との関係



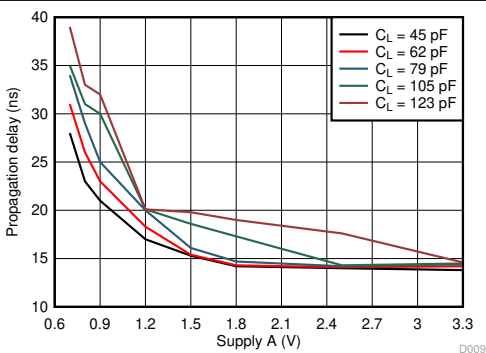
$T_A = 25^\circ\text{C}$ $V_{CCA} = 2.5\text{V}$

図 5-8. 「Low」から「High」への標準的な伝搬遅延
(A から B) と負荷容量との関係



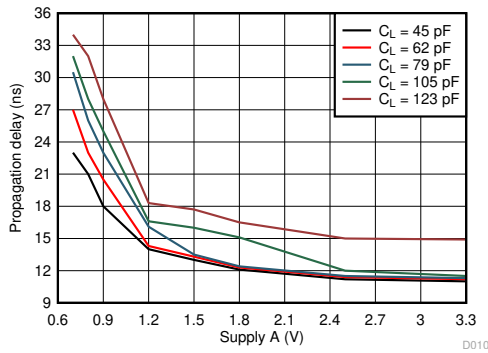
$T_A = 25^\circ\text{C}$ $V_{CCA} = 0.7\text{V}$

図 5-9. Low から High への標準的な伝搬遅延
(B から A) と負荷容量との関係



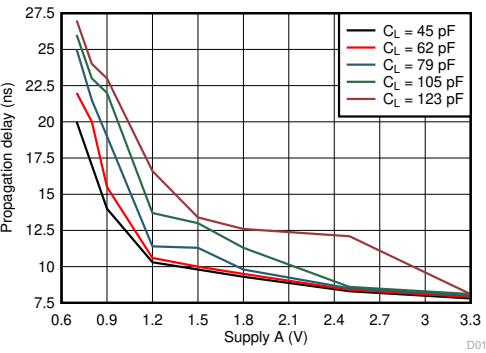
$T_A = 25^\circ\text{C}$ $V_{CCA} = 0.8\text{V}$

図 5-10. Low から High への標準的な伝搬遅延
(B から A) と負荷容量との関係



$T_A = 25^\circ\text{C}$ $V_{CCA} = 0.9\text{V}$

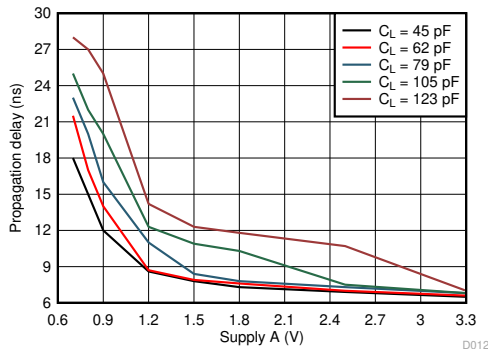
図 5-11. Low から High への標準的な伝搬遅延
(B から A) と負荷容量との関係



$T_A = 25^\circ\text{C}$ $V_{CCA} = 1.2\text{V}$

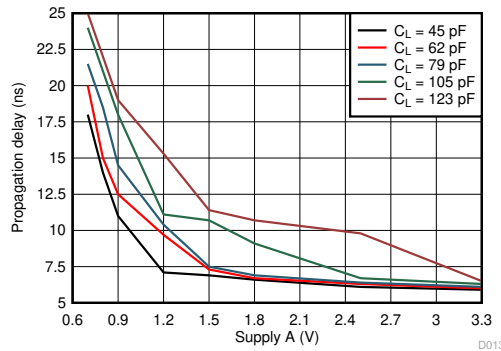
図 5-12. Low から High への標準的な伝搬遅延
(B から A) と負荷容量との関係

5.7 代表的特性 (続き)



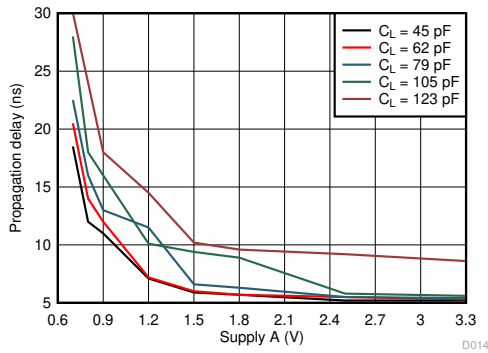
$T_A = 25^\circ\text{C}$ $V_{CCA} = 1.5\text{V}$

図 5-13. Low から High への標準的な伝搬遅延
(B から A) と負荷容量との関係



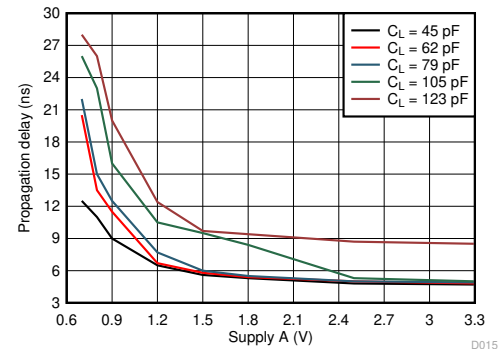
$T_A = 25^\circ\text{C}$ $V_{CCA} = 1.8\text{V}$

図 5-14. Low から High への標準的な伝搬遅延
(B から A) と負荷容量との関係



$T_A = 25^\circ\text{C}$ $V_{CCA} = 2.5\text{V}$

図 5-15. Low から High への標準的な伝搬遅延
(B から A) と負荷容量との関係



$T_A = 25^\circ\text{C}$ $V_{CCA} = 3.3\text{V}$

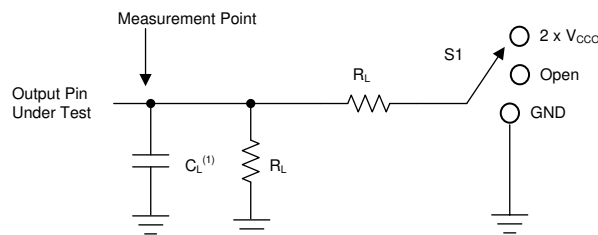
図 5-16. Low から High への標準的な伝搬遅延
(B から A) と負荷容量との関係

6 パラメータ測定情報

6.1 負荷回路および電圧波形

特に記述のない限り、すべての入力パルスは、以下の特性を持つジェネレータで生成されます。

- $f = 1\text{MHz}$
- $Z_O = 50\Omega$
- $dv/dt \leq 1\text{ns/V}$



A. C_L にはプローブと治具の容量が含まれます。

図 6-1. 負荷回路

表 6-1. 負荷回路の条件

| パラメータ | V_{CCO} | R_L | C_L | S_1 | V_{TP} |
|---|-------------|-------|-------|--------------------|----------|
| $\Delta t/\Delta v$ 入力遷移の立ち上がりまたは立ち下がりレート | 0.65V~3.6V | 1MΩ | 15pF | Open | N/A |
| t_{pd} 伝搬(遅延)時間 | 1.1 V~3.6V | 2kΩ | 15pF | Open | N/A |
| | 0.65V~0.95V | 20kΩ | 15pF | Open | N/A |
| t_{en}, t_{dis} イネーブル時間、ディセーブル時間 | 3V~3.6V | 2kΩ | 15pF | $2 \times V_{CCO}$ | 0.3V |
| | 1.65V~2.7V | 2kΩ | 15pF | $2 \times V_{CCO}$ | 0.15V |
| | 1.1 V~1.6V | 2kΩ | 15pF | $2 \times V_{CCO}$ | 0.1V |
| | 0.65V~0.95V | 20kΩ | 15pF | $2 \times V_{CCO}$ | 0.1V |
| | 3V~3.6V | 2kΩ | 15pF | GND | 0.3V |
| | 1.65V~2.7V | 2kΩ | 15pF | GND | 0.15V |
| t_{en}, t_{dis} イネーブル時間、ディセーブル時間 | 1.1 V~1.6V | 2kΩ | 15pF | GND | 0.1V |
| | 0.65V~0.95V | 20kΩ | 15pF | GND | 0.1V |

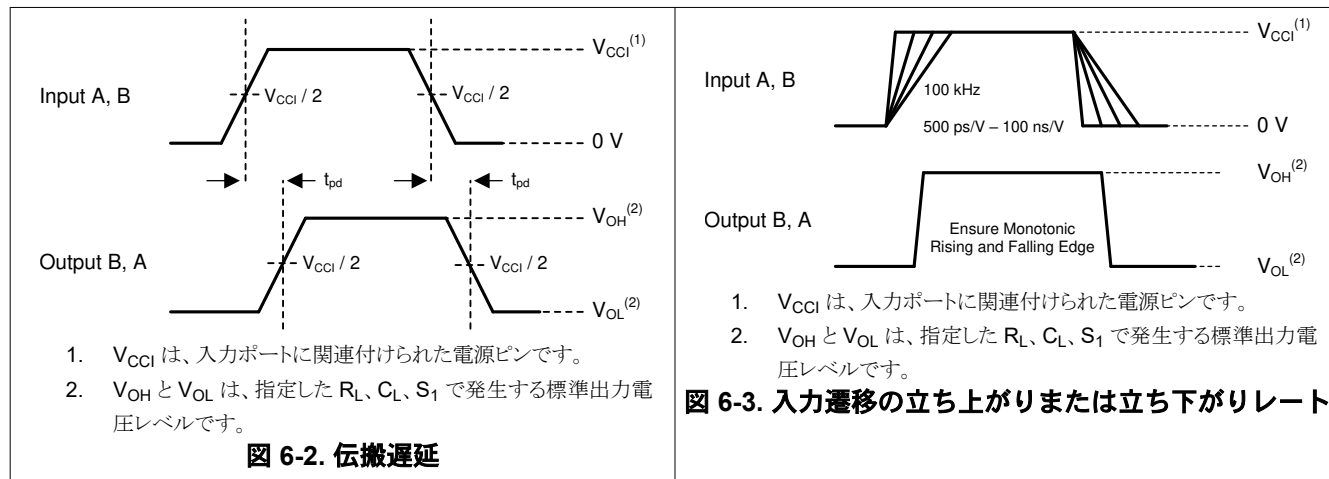


図 6-2. 伝搬遅延

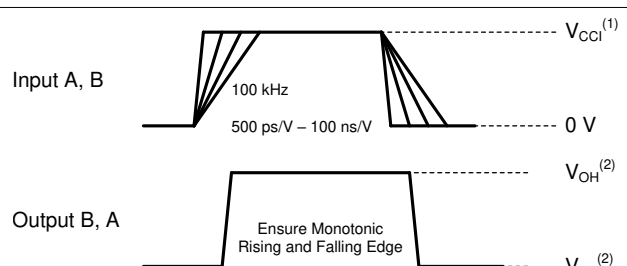
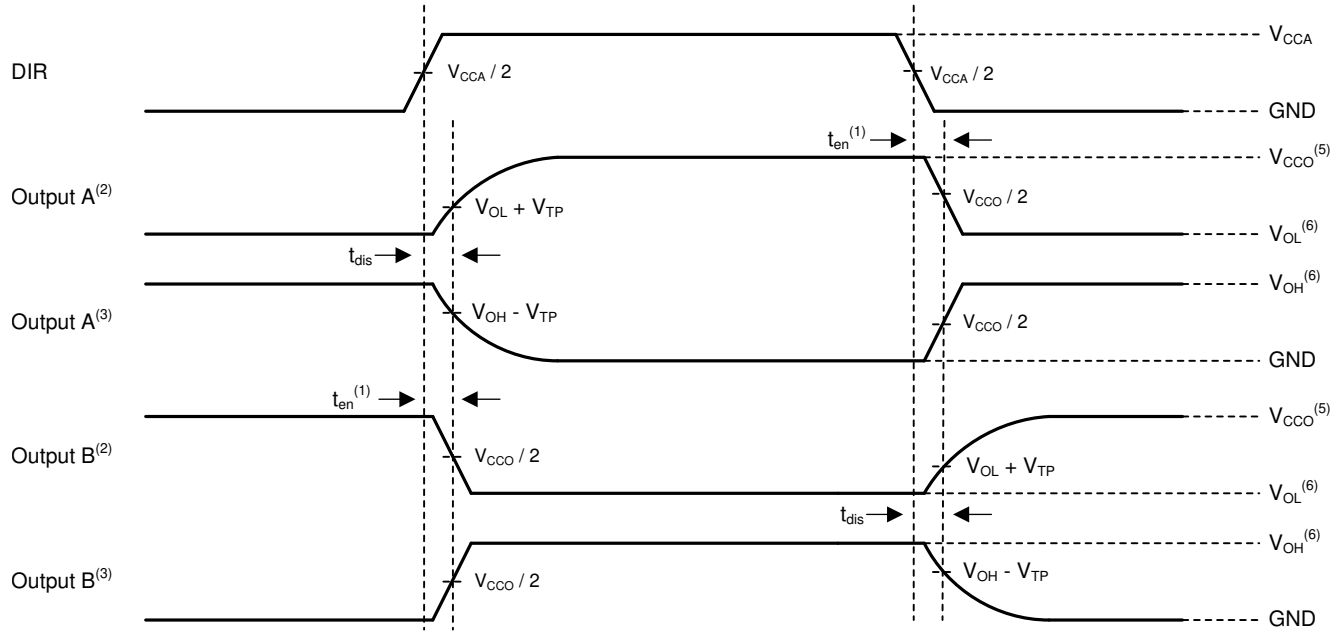


図 6-3. 入力遷移の立ち上がりまたは立ち下がりレート



1. 説明用です。イネーブル時間は、データシートに記載されている計算で求めます。
2. 入力が有効なロジック Low に駆動されたときの出力波形。
3. 入力が有効なロジック High に駆動されたときの出力波形。
4. V_{CCI} は、入力ポートに関連付けられた電源ピンです。
5. V_{CCO} は、出力ポートに関連付けられた電源ピンです。
6. V_{OH} と V_{OL} は、指定した R_L 、 C_L 、 S_1 で発生する標準出力電圧レベルです。

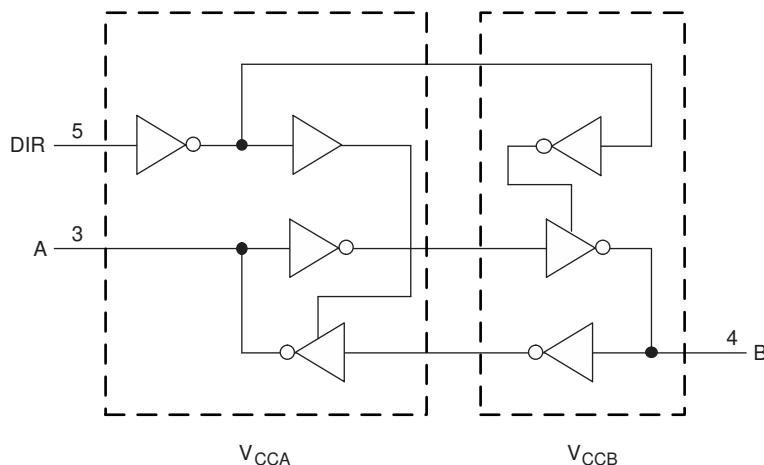
図 6-4. ディセーブルおよびイネーブル時間

7 詳細説明

7.1 概要

SN74AXC1T45-Q1 は、AEC-Q100 認定済みのシングルビット、デュアル電源、非反転電圧レベル変換器です。機能ブロック図に示すように、ピン A と方向制御ピンは V_{CCA} のロジック レベルを基準とし、ピン B は V_{CCB} のロジック レベルを基準とします。A ポートは 0.65V~3.6V の範囲の I/O 電圧を受け入れ、B ポートは 0.65V~3.6V の範囲の I/O 電圧を受け入れる事が可能です。DIR ピンがロジック High になると A から B へのデータ転送がイネーブルになり、DIR ピンがロジック Low になると B から A へのデータ転送がイネーブルになります。

7.2 機能ブロック図



7.3 機能説明

7.3.1 標準 CMOS 入力

標準 CMOS 入力は高インピーダンスであり、通常は「電気的特性」に示されている入力容量と並列の抵抗としてモデル化されます。ワーストケースの抵抗は「絶対最大定格」に示されている最大入力電圧と、「電気的特性」に示されている最大入力リーケージ電流からオームの法則 ($R = V / I$) を使用して計算します。

過剰な消費電流と発振を避けるため、入力に印加する信号は、「推奨動作条件」の $\Delta t / \Delta V$ で定義される高速なエッジ レートを持つ必要があります。低速またはノイズの多い入力信号が必要な場合は、シムミットトリガ入力を備えたデバイスを使用して、標準 CMOS 入力の前に入力信号をコンディショニングする必要があります。

7.3.2 バランスのとれた高駆動能力の CMOS プッシュプル出力

バランスのとれた出力により、このデバイスは同程度の電流をシンクおよびソースすることができます。このデバイスは高駆動能力を備えており、軽負荷に高速エッジが生成されるため、リンギングを防ぐために配線と負荷の条件を考慮する必要があります。さらに、このデバイスの出力は、デバイスを損傷することなく維持できる以上に大きな電流を駆動できます。「絶対最大定格」で定義されている電気的および熱的制限を常に順守してください。

7.3.3 部分的パワー ダウン (I_{off})

デバイスがパワーダウンすると、このデバイスの入力と出力は高インピーダンス状態に入り、デバイスへの電流の逆流が抑止されます。デバイス上の任意の入力や出力との間の最大リーケージは、「電気的特性」の I_{off} で規定されます。

7.3.4 V_{CC} 絶縁機能

どちらかの電源が <100mV の場合、このデバイスの入力と出力は高インピーダンス状態に移行します。

7.3.5 過電圧許容入力

このデバイスへの入力信号は、「推奨動作条件」に記載されている最大入力電圧値を下回っている限り、電源電圧以上で駆動できます。

7.3.6 負のクランプダイオード

このデバイスの入力と出力には、図 7-1 に示すように負のクランプダイオードがあります。

注意

絶対最大定格 表に規定されている値を超える電圧は、デバイスに損傷を与える可能性があります。入力と出力のクランプ電流の定格を順守しても、入力の負電圧と出力電圧の定格を超えることがあります。

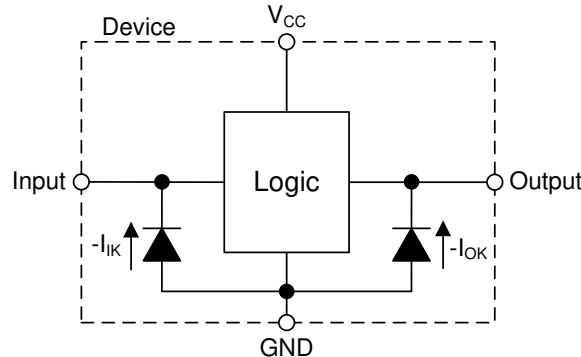


図 7-1. 各入力と出力に対するクランプダイオードの電気的配置

7.3.7 フル構成可能なデュアル レール設計

V_{CCA} ピンと V_{CCB} ピンはどちらも 0.65V~3.6V の任意の電圧で供給できるため、このデバイスは任意の電圧ノード間 (0.7V, 0.8V, 0.9V, 1.2V, 1.8V, 2.5V, 3.3V) での変換に適しています。

7.3.8 スタティック プルダウン抵抗内蔵の I/O

I/O のフローティング入力を防止するため、このデバイスのすべてのデータ I/O には標準で $288\text{k}\Omega$ の弱いプルダウンが内蔵されています。この機能のおかげで、出力の不安定化も消費電流の増加も心配することなく、すべての入力をフローティングのままにできます。この機能は、すべてのチャネルを使うとは限らないアプリケーション、またはすべてのチャネルを Low に固定する必要があるアプリケーションの外付け部品数を減らすことにも役立ちます。外付けのプルアップが必要な場合、内蔵の $288\text{k}\Omega$ のプルダウンとの競合を避けるため、 $30\text{k}\Omega$ 以上にはしないでください。

7.3.9 高速変換をサポート

SN74AXC1T45-Q1 デバイスは、高データレートのアプリケーションをサポートできます。信号を 1.8V から 3.3V に変換する場合、変換された信号のデータレートは最大 500Mbps になります。

7.4 デバイスの機能モード

表 7-1 に、DIR 入力のデバイス機能を示します。

表 7-1. 機能表

| 入力 ⁽¹⁾ DIR | 動作 |
|--------------------------|--------------|
| L | B データを A バスへ |
| H | A データを B バスへ |

(1) データ I/O の入力回路は常にアクティブです。

8 アプリケーションと実装

注

以下のアプリケーション情報は、TI の製品仕様に含まれるものではなく、TI ではその正確性または完全性を保証いたしません。個々の目的に対する製品の適合性については、お客様の責任で判断していただくことになります。お客様は自身の設計実装を検証しテストすることで、システムの機能を確認する必要があります。

8.1 アプリケーション情報

SN74AXC1T45-Q1 デバイスは、異なるインターフェイス電圧で動作するデバイスやシステム間を接続するためのレベル変換アプリケーションで使用できます。このデバイスで信号を 1.8V から 3.3V に変換する場合、最大データレートは 500Mbps となります。

8.1.1 イネーブル時間

以下の式を使用して、SN74AXC1T45-Q1 のイネーブル時間を計算します。

$$t_{PZH} (\text{DIR から A}) = t_{PLZ} (\text{DIR から B}) + t_{PLH} (\text{B から A}) \quad (1)$$

$$t_{PZL} (\text{DIR から A}) = t_{PHZ} (\text{DIR から B}) + t_{PHL} (\text{B から A}) \quad (2)$$

$$t_{PZH} (\text{DIR から B}) = t_{PLZ} (\text{DIR から A}) + t_{PLH} (\text{A から B}) \quad (3)$$

$$t_{PZL} (\text{DIR から B}) = t_{PHZ} (\text{DIR から A}) + t_{PHL} (\text{A から B}) \quad (4)$$

双方向アプリケーションでは、これらのイネーブル時間によって、出力が想定されるまでに DIR ビットが切り替わる時間からの最大遅延時間が得られます。たとえば、SN74AXC1T45-Q1 が最初に A から B に送信しており、その後に DIR ビットが切り替わる場合、デバイスの B ポートはそれが入力として指定される前にディセーブルにする必要があります。B ポートがディセーブルになると、このポートに印加されていた入力信号は、指定の伝搬遅延を経過した後に対応する A ポートで確認できるようになります。

8.2 代表的なアプリケーション

8.2.1 割り込み要求アプリケーション

図 8-1 に、システムコントローラが CPU に割り込み要求 (IRQ) のフラグを立てるアプリケーションで使用されている SN74AXC1T45-Q1 の例を示します。システムコントローラは、IRQ ラインの方向を決定して、CPU への割り込みフラグを立てるか、または CPU がライン上のデータを駆動できるようにします。このアプリケーションでは、コントローラは 3.3V で動作し、CPU は 0.65V という低電圧動作できます。

SN74AXC1T45-Q1 を使用すると、これらのデバイスが適切な電圧レベルで通信を行うことができるようになります。SN74AXC1T45-Q1 には出力イネーブル (\overline{OE}) ピンがないため、システム設計者は方向変更時に CPU とコントローラの間でバス競合が発生しないように注意する必要があります。

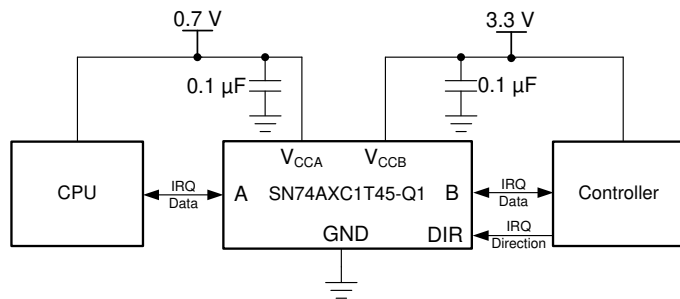


図 8-1. 割り込み要求アプリケーション

8.2.1.1 設計要件

この設計例では、表 8-1 に記載されているパラメータを使用します。

表 8-1. 設計パラメータ

| 設計パラメータ | 例の値 |
|---------|--------------|
| 入力電圧範囲 | 0.65V~3.6V |
| 出力電圧範囲 | 0.65V ~ 3.6V |

8.2.1.2 詳細な設計手順

設計プロセスを開始するには、以下を決定する必要があります。

- 入力電圧範囲
 - SN74AXC1T45-Q1 デバイスを駆動しているデバイスの電源電圧を使用して、入力電圧範囲を決定します。有効なロジック High では、値が入力ポートの High レベル入力電圧 (V_{IH}) を超えている必要があります。有効なロジック Low では、値が入力ポートの Low レベル入力電圧 (V_{IL}) 未満である必要があります。
- 出力電圧範囲
 - SN74AXC1T45-Q1 デバイスが駆動しているデバイスの電源電圧を使用して、出力電圧範囲を決定します。

8.2.1.3 アプリケーション曲線

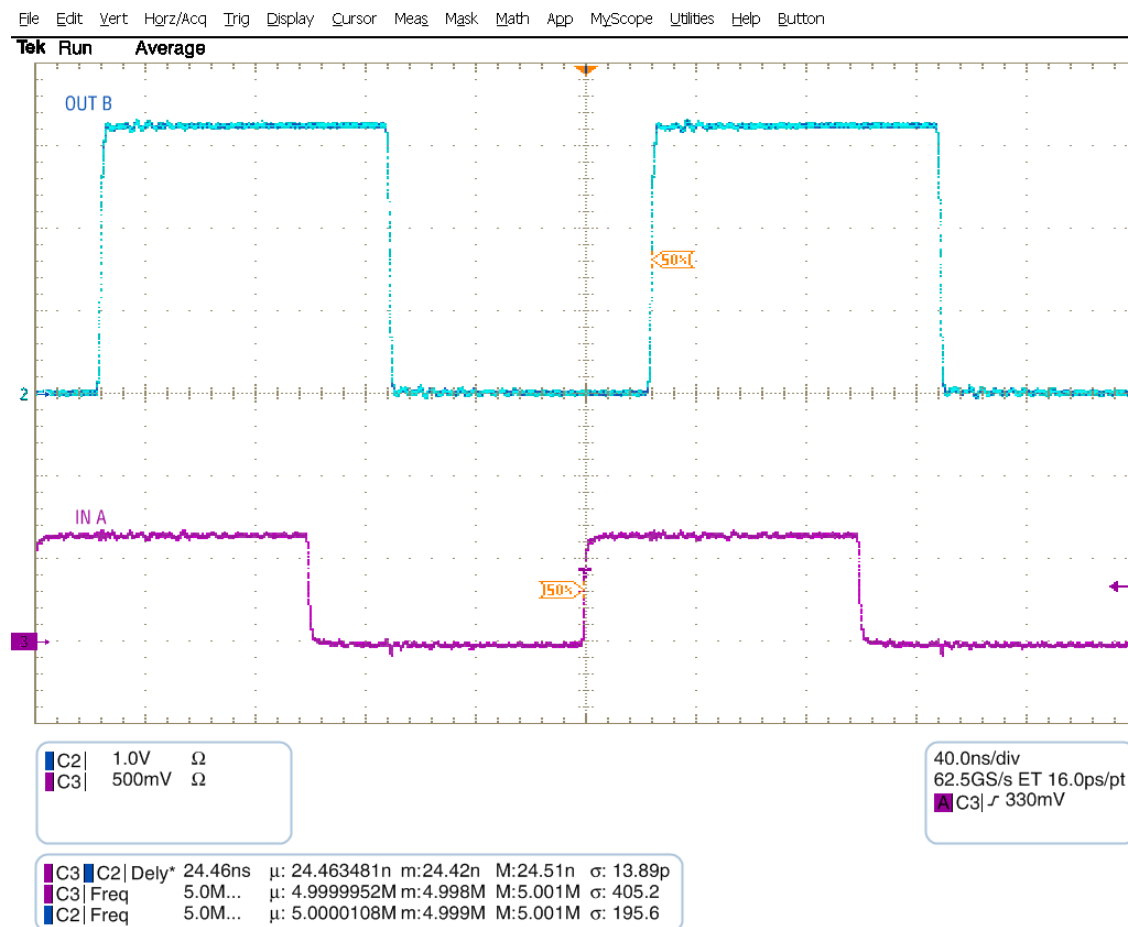


図 8-2. 2.5MHz での昇圧変換 (0.7V から 3.3V)

8.2.2 UART (Universal Asynchronous Receiver-Transmitter) インターフェイス アプリケーション

図 8-3 に、2 ビット UART インターフェイス アプリケーションで使用する SN74AXC1T45-Q1 を示します。1 個の SN74AXC1T45-Q1 デバイスを使用して電圧をレベルシフトして、プロセッサから GPS モジュールへの TX を駆動し、もう 1 個の SN74AXC1T45-Q1 デバイスを使用して GPS モジュールからプロセッサへの RX データラインを駆動します。

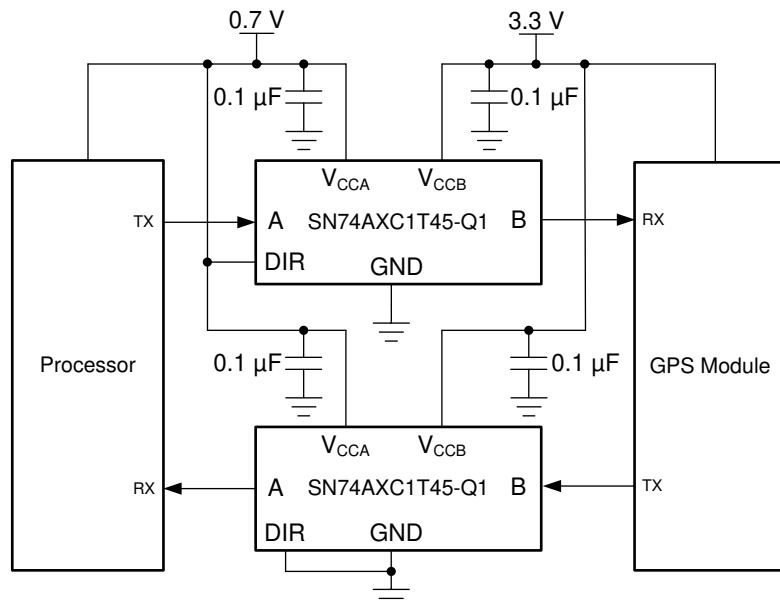


図 8-3. UART インターフェイス アプリケーション

8.2.2.1 設計要件

セクション 8.2.1.1 を参照してください。

8.2.2.2 詳細な設計手順

セクション 8.2.1.2 を参照してください。

8.3 電源に関する推奨事項

GND ピンには最初に必ずグランドリファレンス電圧を印加してください。このデバイスは、グリッチの発生しない電源シーケンシング用に設計されており、ランプの順序やランプレートなどの電源シーケンシング要件はありません。

このデバイスはさまざまな電源シーケンシング手法を考慮して設計されており、ダウンストリーム デバイスの意図しないトリガ防止に役立ちます。AXC ファミリ レベル変換器の電源オン時グリッチ性能の詳細については、『AXC ファミリ デバイスの電源シーケンス』アプリケーション レポートを参照してください。

8.4 レイアウト

8.4.1 レイアウトのガイドライン

デバイスの信頼性を確保するため、一般的なプリント基板レイアウトのガイドラインに従うことを推奨します。

- 電源ピンにバイパスコンデンサを使用し、デバイスのできる限り近くに配置します。
- 過度の負荷を避けるため、配線長を短くする必要があります。

8.4.2 レイアウト例

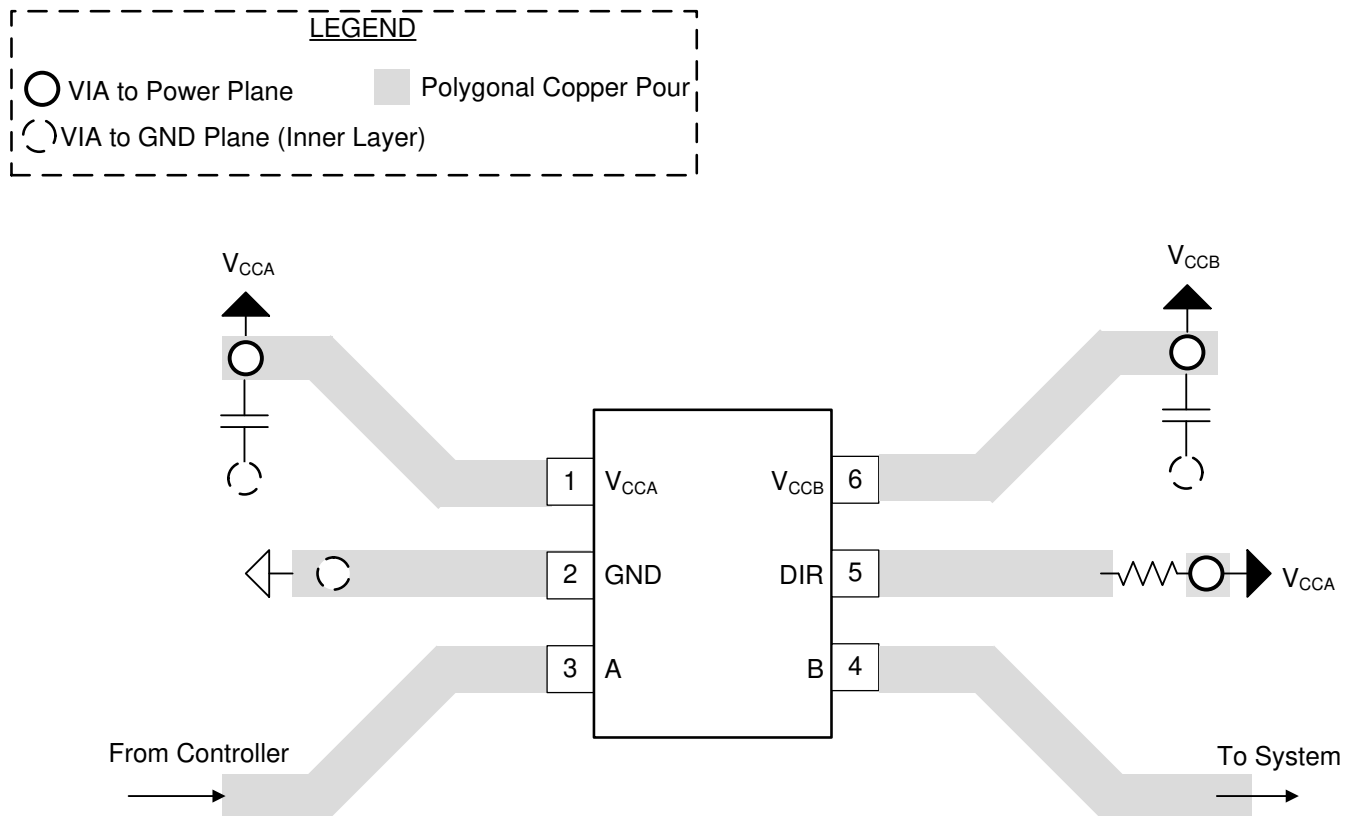


図 8-4. PCB のレイアウト例

9 デバイスおよびドキュメントのサポート

9.1 ドキュメントのサポート

9.1.1 関連資料

関連資料については、以下を参照してください。

- ・テキサス・インスツルメンツ、『汎用 EVM を使用した SN74AXC1T45DRL の評価』アプリケーション レポート
- ・テキサス・インスツルメンツ、『低速またはフローティング CMOS 入力の影響』アプリケーション レポート
- ・テキサス・インスツルメンツ、『AXC デバイスファミリの電源シーケンス』アプリケーション レポート

9.2 ドキュメントの更新通知を受け取る方法

ドキュメントの更新についての通知を受け取るには、www.tij.co.jp のデバイス製品フォルダを開いてください。[通知] をクリックして登録すると、変更されたすべての製品情報に関するダイジェストを毎週受け取ることができます。変更の詳細については、改訂されたドキュメントに含まれている改訂履歴をご覧ください。

9.3 サポート・リソース

テキサス・インスツルメンツ E2E™ サポート・フォーラムは、エンジニアが検証済みの回答と設計に関するヒントをエキスパートから迅速かつ直接得ることができる場所です。既存の回答を検索したり、独自の質問をしたりすることで、設計で必要な支援を迅速に得ることができます。

リンクされているコンテンツは、各寄稿者により「現状のまま」提供されるものです。これらはテキサス・インスツルメンツの仕様を構成するものではなく、必ずしもテキサス・インスツルメンツの見解を反映したものではありません。テキサス・インスツルメンツの[使用条件](#)を参照してください。

9.4 商標

テキサス・インスツルメンツ E2E™ is a trademark of Texas Instruments.

すべての商標は、それぞれの所有者に帰属します。

9.5 静電気放電に関する注意事項



この IC は、ESD によって破損する可能性があります。テキサス・インスツルメンツは、IC を取り扱う際には常に適切な注意を払うことをお勧めします。正しい取り扱いおよび設置手順に従わない場合、デバイスを破損するおそれがあります。

ESD による破損は、わずかな性能低下からデバイスの完全な故障まで多岐にわたります。精密な IC の場合、パラメータがわずかに変化するだけで公表されている仕様から外れる可能性があるため、破損が発生しやすくなっています。

9.6 用語集

テキサス・インスツルメンツ用語集 この用語集には、用語や略語の一覧および定義が記載されています。

10 改訂履歴

資料番号末尾の英字は改訂を表しています。その改訂履歴は英語版に準じています。

| Changes from Revision C (January 2020) to Revision D (January 2024) | Page |
|---|------|
| ・「スタティック プルダウン抵抗内蔵の I/O」セクションを追加 | 14 |

| Changes from Revision B (September 2019) to Revision C (January 2020) | Page |
|---|------|
| ・DRY パッケージ付きデバイスのステータスが「アクティブ」に | 2 |
| ・デバイスの性能の更新を反映して I_{CCA} 、 I_{CCB} 、 $I_{CCA} + I_{CCB}$ を更新。 | 6 |

| Changes from Revision A (July 2019) to Revision B (September 2019) | Page |
|--|------|
| • DCK パッケージ付きデバイスのステータスが「アクティブ」に..... | 2 |

| Changes from Revision * (February 2019) to Revision A (July 2019) | Page |
|---|------|
| • 「製品情報」表に DRY パッケージを追加..... | 1 |
| • ピン構成に DRY パッケージを追加..... | 2 |
| • 表 セクション 5.4 に DRY パッケージを追加..... | 4 |

11 メカニカル、パッケージ、および注文情報

以降のページには、メカニカル、パッケージ、および注文に関する情報が記載されています。この情報は、指定のデバイスに使用できる最新のデータです。このデータは、予告なく、このドキュメントを改訂せずに変更される場合があります。このデータシートのブラウザベース版については、左側のナビゲーションを参照してください。

重要なお知らせと免責事項

テキサス・インスツルメンツは、技術データと信頼性データ（データシートを含みます）、設計リソース（リファレンス デザインを含みます）、アプリケーションや設計に関する各種アドバイス、Web ツール、安全性情報、その他のリソースを、欠陥が存在する可能性のある「現状のまま」提供しており、商品性および特定目的に対する適合性の默示保証、第三者の知的財産権の非侵害保証を含むいかなる保証も、明示的または默示的にかかわらず拒否します。

これらのリソースは、テキサス・インスツルメンツ製品を使用する設計の経験を積んだ開発者への提供を意図したものです。(1) お客様のアプリケーションに適した テキサス・インスツルメンツ製品の選定、(2) お客様のアプリケーションの設計、検証、試験、(3) お客様のアプリケーションに該当する各種規格や、その他のあらゆる安全性、セキュリティ、規制、または他の要件への確実な適合に関する責任を、お客様のみが単独で負うものとします。

上記の各種リソースは、予告なく変更される可能性があります。これらのリソースは、リソースで説明されている テキサス・インスツルメンツ製品を使用するアプリケーションの開発の目的でのみ、テキサス・インスツルメンツはその使用をお客様に許諾します。これらのリソースに関して、他の目的で複製することや掲載することは禁止されています。テキサス・インスツルメンツや第三者の知的財産権のライセンスが付与されている訳ではありません。お客様は、これらのリソースを自身で使用した結果発生するあらゆる申し立て、損害、費用、損失、責任について、テキサス・インスツルメンツおよびその代理人を完全に補償するものとし、テキサス・インスツルメンツは一切の責任を拒否します。

テキサス・インスツルメンツの製品は、[テキサス・インスツルメンツの販売条件](#)、または [ti.com](#) やかかる テキサス・インスツルメンツ製品の関連資料などのいずれかを通じて提供する適用可能な条項の下で提供されています。テキサス・インスツルメンツがこれらのリソースを提供することは、適用されるテキサス・インスツルメンツの保証または他の保証の放棄の拡大や変更を意味するものではありません。

お客様がいかなる追加条項または代替条項を提案した場合でも、テキサス・インスツルメンツはそれらに異議を唱え、拒否します。

郵送先住所: Texas Instruments, Post Office Box 655303, Dallas, Texas 75265

Copyright © 2024, Texas Instruments Incorporated

PACKAGING INFORMATION

| Orderable part number | Status (1) | Material type (2) | Package Pins | Package qty Carrier | RoHS (3) | Lead finish/ Ball material (4) | MSL rating/ Peak reflow (5) | Op temp (°C) | Part marking (6) |
|-----------------------|---------------|----------------------|----------------|-----------------------|-------------|--------------------------------------|-----------------------------------|--------------|---------------------|
| SN74AXC1T45QDCKRQ1 | Active | Production | SC70 (DCK) 6 | 3000 LARGE T&R | Yes | NIPDAU SN | Level-1-260C-UNLIM | -40 to 125 | 1E1 |
| SN74AXC1T45QDCKRQ1.B | Active | Production | SC70 (DCK) 6 | 3000 LARGE T&R | Yes | SN | Level-1-260C-UNLIM | -40 to 125 | 1E1 |
| SN74AXC1T45QDRYRQ1 | Active | Production | SON (DRY) 6 | 5000 LARGE T&R | Yes | NIPDAU | Level-1-260C-UNLIM | -40 to 125 | G2 |
| SN74AXC1T45QDRYRQ1.B | Active | Production | SON (DRY) 6 | 5000 LARGE T&R | Yes | NIPDAU | Level-1-260C-UNLIM | -40 to 125 | G2 |

⁽¹⁾ **Status:** For more details on status, see our [product life cycle](#).

⁽²⁾ **Material type:** When designated, preproduction parts are prototypes/experimental devices, and are not yet approved or released for full production. Testing and final process, including without limitation quality assurance, reliability performance testing, and/or process qualification, may not yet be complete, and this item is subject to further changes or possible discontinuation. If available for ordering, purchases will be subject to an additional waiver at checkout, and are intended for early internal evaluation purposes only. These items are sold without warranties of any kind.

⁽³⁾ **RoHS values:** Yes, No, RoHS Exempt. See the [TI RoHS Statement](#) for additional information and value definition.

⁽⁴⁾ **Lead finish/Ball material:** Parts may have multiple material finish options. Finish options are separated by a vertical ruled line. Lead finish/Ball material values may wrap to two lines if the finish value exceeds the maximum column width.

⁽⁵⁾ **MSL rating/Peak reflow:** The moisture sensitivity level ratings and peak solder (reflow) temperatures. In the event that a part has multiple moisture sensitivity ratings, only the lowest level per JEDEC standards is shown. Refer to the shipping label for the actual reflow temperature that will be used to mount the part to the printed circuit board.

⁽⁶⁾ **Part marking:** There may be an additional marking, which relates to the logo, the lot trace code information, or the environmental category of the part.

Multiple part markings will be inside parentheses. Only one part marking contained in parentheses and separated by a "~" will appear on a part. If a line is indented then it is a continuation of the previous line and the two combined represent the entire part marking for that device.

Important Information and Disclaimer: The information provided on this page represents TI's knowledge and belief as of the date that it is provided. TI bases its knowledge and belief on information provided by third parties, and makes no representation or warranty as to the accuracy of such information. Efforts are underway to better integrate information from third parties. TI has taken and continues to take reasonable steps to provide representative and accurate information but may not have conducted destructive testing or chemical analysis on incoming materials and chemicals. TI and TI suppliers consider certain information to be proprietary, and thus CAS numbers and other limited information may not be available for release.

In no event shall TI's liability arising out of such information exceed the total purchase price of the TI part(s) at issue in this document sold by TI to Customer on an annual basis.

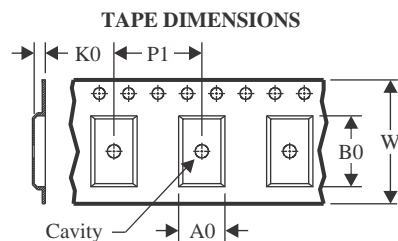
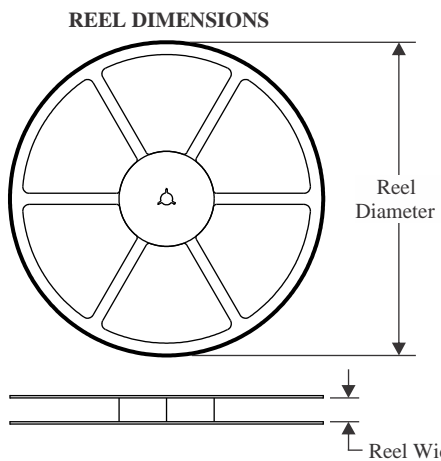
OTHER QUALIFIED VERSIONS OF SN74AXC1T45-Q1 :

- Catalog : [SN74AXC1T45](#)

NOTE: Qualified Version Definitions:

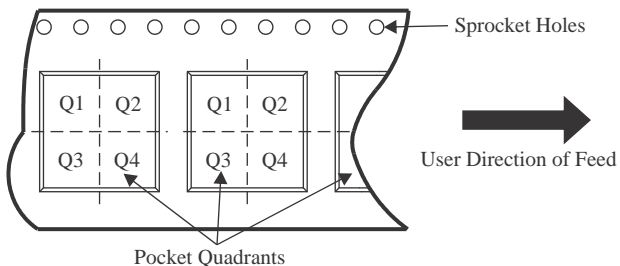
- Catalog - TI's standard catalog product

TAPE AND REEL INFORMATION



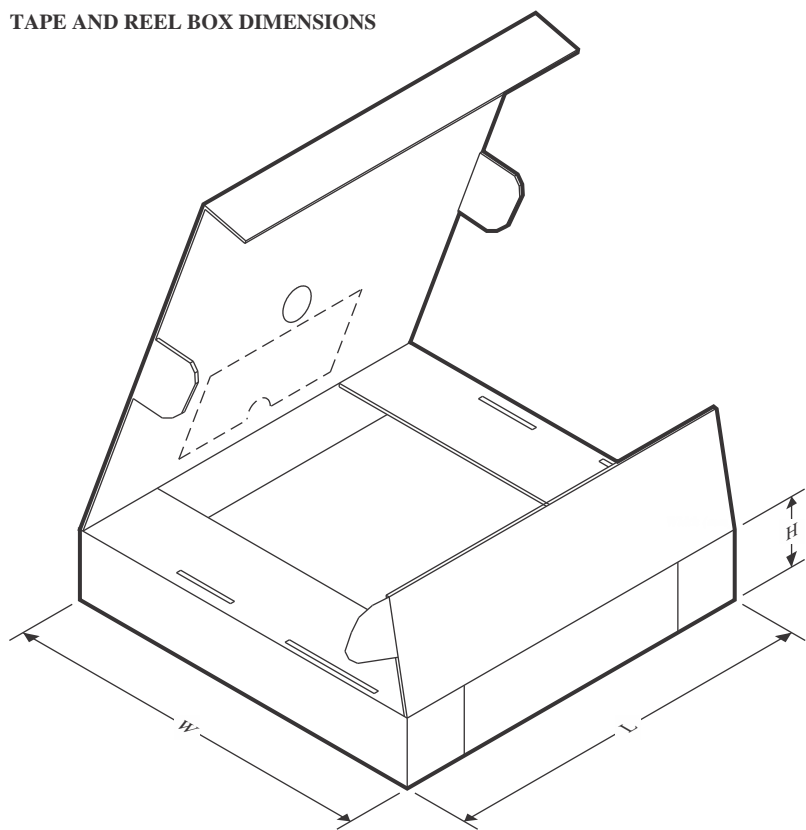
| | |
|----|---|
| A0 | Dimension designed to accommodate the component width |
| B0 | Dimension designed to accommodate the component length |
| K0 | Dimension designed to accommodate the component thickness |
| W | Overall width of the carrier tape |
| P1 | Pitch between successive cavity centers |

QUADRANT ASSIGNMENTS FOR PIN 1 ORIENTATION IN TAPE



*All dimensions are nominal

| Device | Package Type | Package Drawing | Pins | SPQ | Reel Diameter (mm) | Reel Width W1 (mm) | A0 (mm) | B0 (mm) | K0 (mm) | P1 (mm) | W (mm) | Pin1 Quadrant |
|--------------------|--------------|-----------------|------|------|--------------------|--------------------|---------|---------|---------|---------|--------|---------------|
| SN74AXC1T45QDCKRQ1 | SC70 | DCK | 6 | 3000 | 178.0 | 9.0 | 2.4 | 2.5 | 1.2 | 4.0 | 8.0 | Q3 |
| SN74AXC1T45QDRYRQ1 | SON | DRY | 6 | 5000 | 180.0 | 9.5 | 1.2 | 1.65 | 0.7 | 4.0 | 8.0 | Q1 |

TAPE AND REEL BOX DIMENSIONS


*All dimensions are nominal

| Device | Package Type | Package Drawing | Pins | SPQ | Length (mm) | Width (mm) | Height (mm) |
|--------------------|--------------|-----------------|------|------|-------------|------------|-------------|
| SN74AXC1T45QDCKRQ1 | SC70 | DCK | 6 | 3000 | 190.0 | 190.0 | 30.0 |
| SN74AXC1T45QDRYRQ1 | SON | DRY | 6 | 5000 | 189.0 | 185.0 | 36.0 |

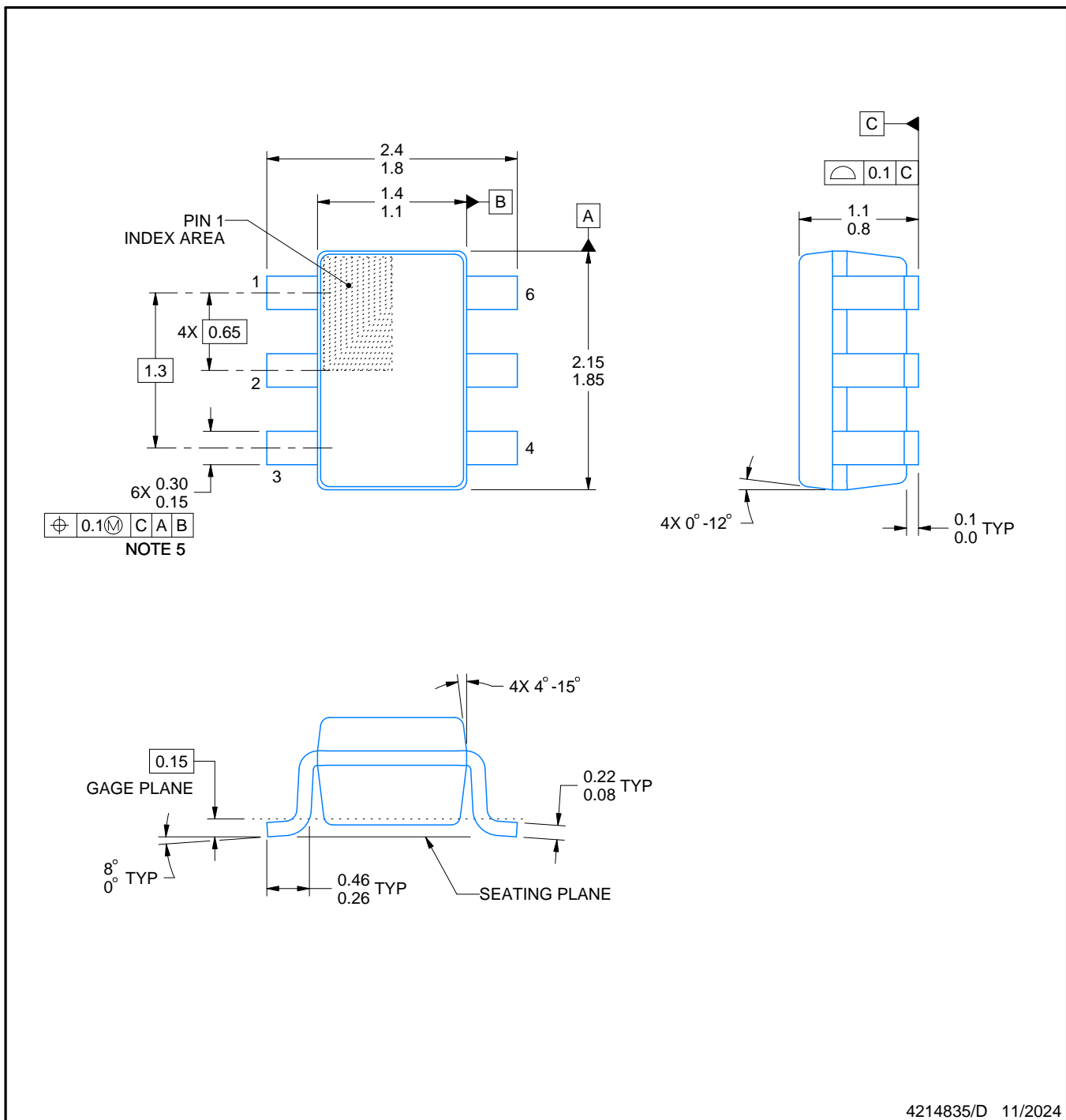
PACKAGE OUTLINE

DCK0006A



SOT - 1.1 max height

SMALL OUTLINE TRANSISTOR



4214835/D 11/2024

NOTES:

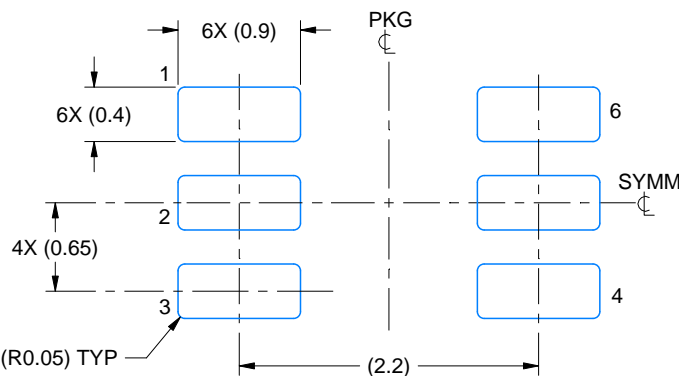
1. All linear dimensions are in millimeters. Any dimensions in parenthesis are for reference only. Dimensioning and tolerancing per ASME Y14.5M.
2. This drawing is subject to change without notice.
3. Body dimensions do not include mold flash or protrusion. Mold flash and protrusion shall not exceed 0.15 per side.
4. Falls within JEDEC MO-203 variation AB.

EXAMPLE BOARD LAYOUT

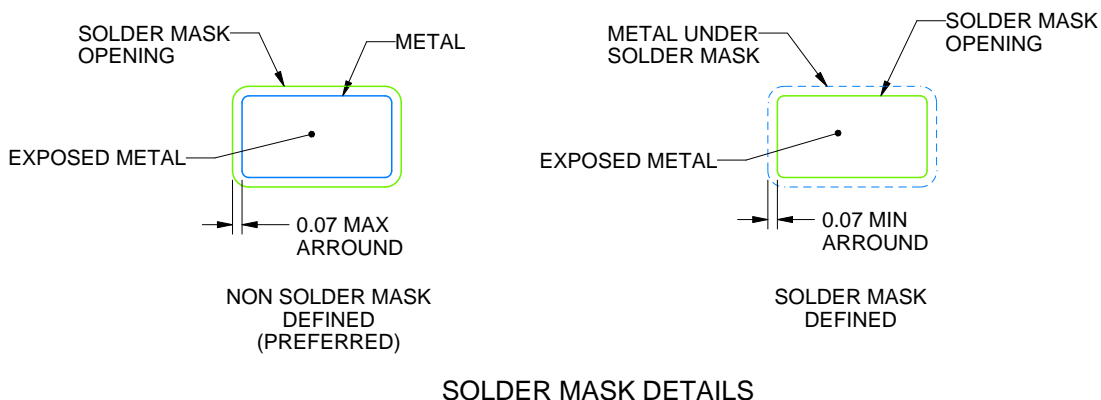
DCK0006A

SOT - 1.1 max height

SMALL OUTLINE TRANSISTOR



LAND PATTERN EXAMPLE
EXPOSED METAL SHOWN
SCALE:18X



4214835/D 11/2024

NOTES: (continued)

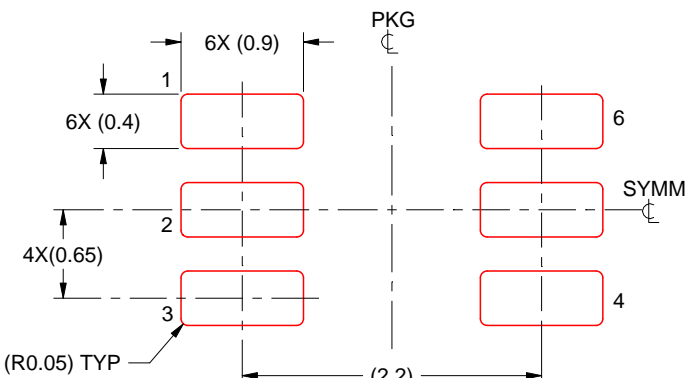
5. Publication IPC-7351 may have alternate designs.
6. Solder mask tolerances between and around signal pads can vary based on board fabrication site.

EXAMPLE STENCIL DESIGN

DCK0006A

SOT - 1.1 max height

SMALL OUTLINE TRANSISTOR



SOLDER PASTE EXAMPLE
BASED ON 0.125 THICK STENCIL
SCALE:18X

4214835/D 11/2024

NOTES: (continued)

7. Laser cutting apertures with trapezoidal walls and rounded corners may offer better paste release. IPC-7525 may have alternate design recommendations.
8. Board assembly site may have different recommendations for stencil design.

DRY 6

GENERIC PACKAGE VIEW

USON - 0.6 mm max height

PLASTIC SMALL OUTLINE - NO LEAD

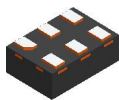


Images above are just a representation of the package family, actual package may vary.
Refer to the product data sheet for package details.

4207181/G

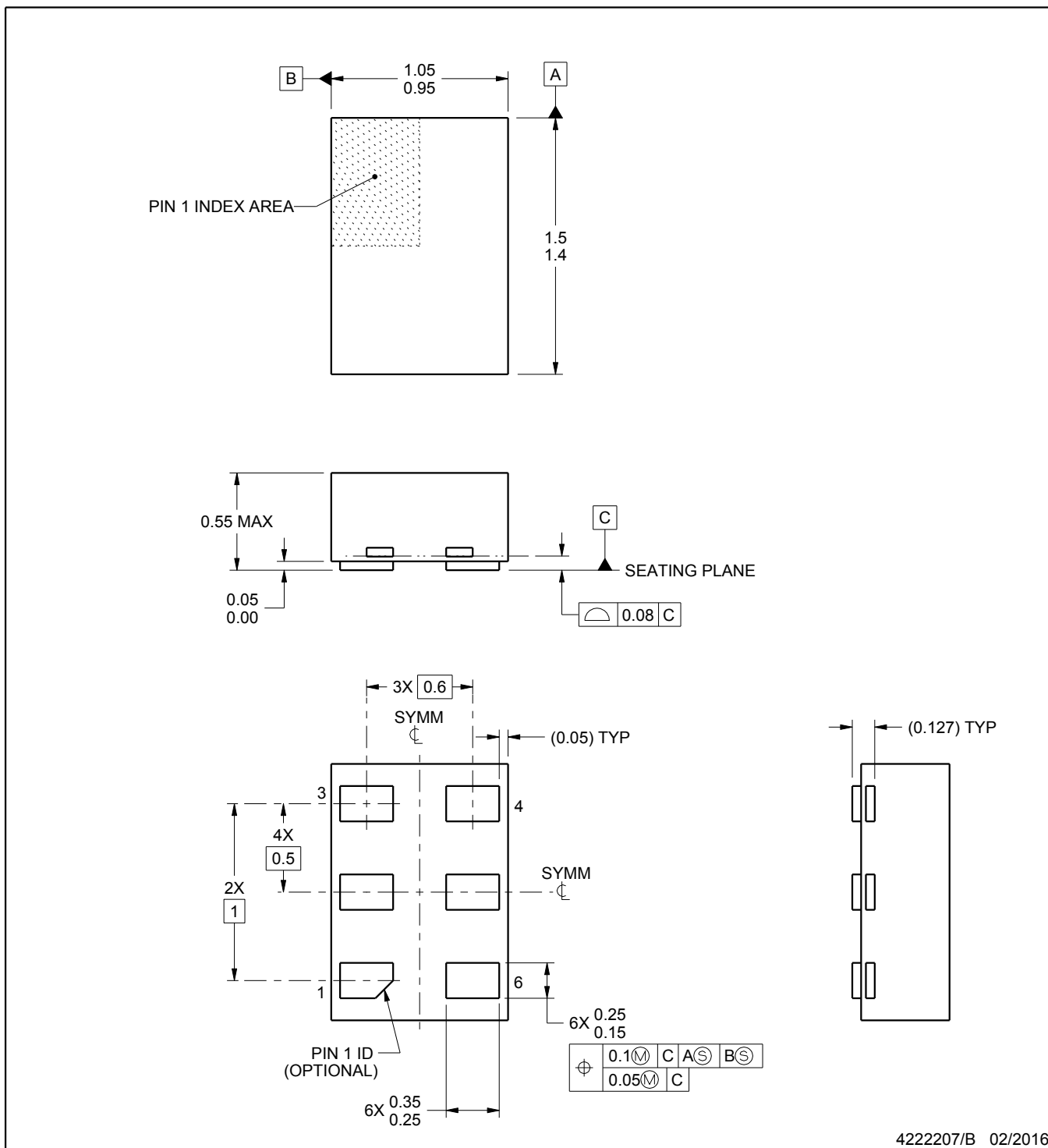
PACKAGE OUTLINE

DRY0006B



USON - 0.55 mm max height

PLASTIC SMALL OUTLINE - NO LEAD



4222207/B 02/2016

NOTES:

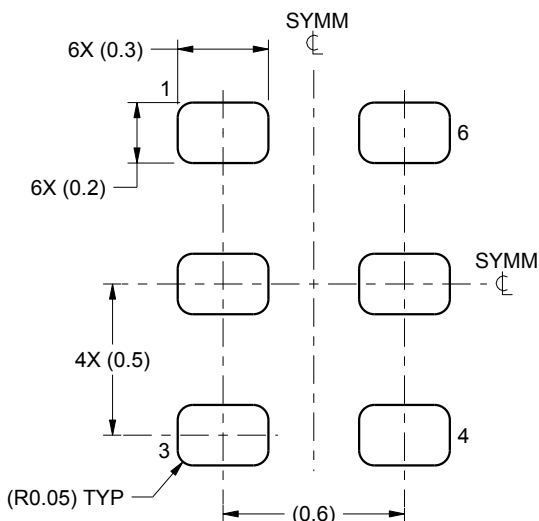
1. All linear dimensions are in millimeters. Any dimensions in parenthesis are for reference only. Dimensioning and tolerancing per ASME Y14.5M.
2. This drawing is subject to change without notice.

EXAMPLE BOARD LAYOUT

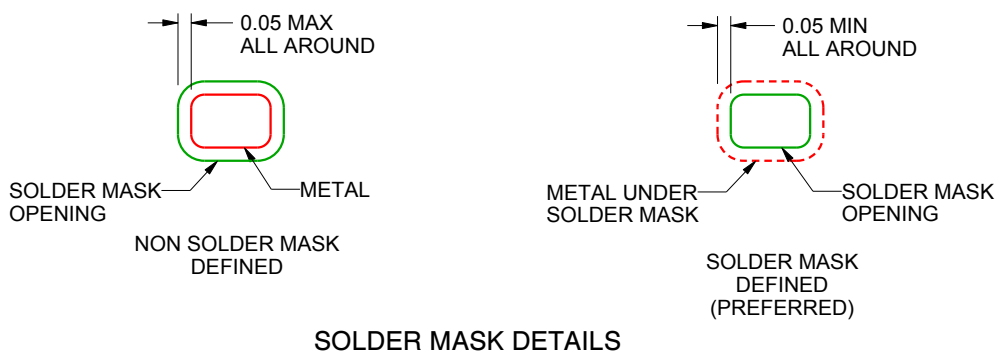
DRY0006B

USON - 0.55 mm max height

PLASTIC SMALL OUTLINE - NO LEAD



LAND PATTERN EXAMPLE
1:1 RATIO WITH PKG SOLDER PADS
SCALE:40X



4222207/B 02/2016

NOTES: (continued)

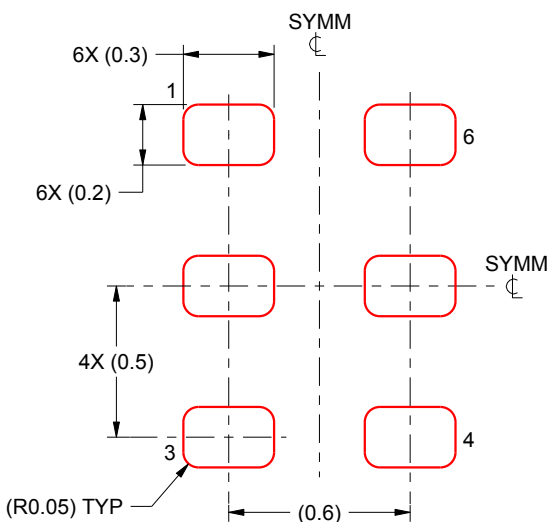
3. For more information, see QFN/SON PCB application report in literature No. SLUA271 (www.ti.com/lit/slua271).

EXAMPLE STENCIL DESIGN

DRY0006B

USON - 0.55 mm max height

PLASTIC SMALL OUTLINE - NO LEAD



SOLDER PASTE EXAMPLE
BASED ON 0.075 - 0.1 mm THICK STENCIL
SCALE:40X

4222207/B 02/2016

NOTES: (continued)

4. Laser cutting apertures with trapezoidal walls and rounded corners may offer better paste release. IPC-7525 may have alternate design recommendations.

重要なお知らせと免責事項

TIは、技術データと信頼性データ(データシートを含みます)、設計リソース(リファレンス デザインを含みます)、アプリケーションや設計に関する各種アドバイス、Webツール、安全性情報、その他のリソースを、欠陥が存在する可能性のある「現状のまま」提供しており、商品性および特定目的に対する適合性の默示保証、第三者の知的財産権の非侵害保証を含むいかなる保証も、明示的または默示的にかかわらず拒否します。

これらのリソースは、TI製品を使用する設計の経験を積んだ開発者への提供を意図したもので、(1)お客様のアプリケーションに適したTI製品の選定、(2)お客様のアプリケーションの設計、検証、試験、(3)お客様のアプリケーションに該当する各種規格や、その他のあらゆる安全性、セキュリティ、規制、または他の要件への確実な適合に関する責任を、お客様のみが単独で負うものとします。

上記の各種リソースは、予告なく変更される可能性があります。これらのリソースは、リソースで説明されているTI製品を使用するアプリケーションの開発の目的でのみ、TIはその使用をお客様に許諾します。これらのリソースに関して、他の目的で複製することや掲載することは禁止されています。TIや第三者の知的財産権のライセンスが付与されている訳ではありません。お客様は、これらのリソースを自身で使用した結果発生するあらゆる申し立て、損害、費用、損失、責任について、TIおよびその代理人を完全に補償するものとし、TIは一切の責任を拒否します。

TIの製品は、[TIの販売条件](#)、[TIの総合的な品質ガイドライン](#)、[ti.com](#)またはTI製品などに関連して提供される他の適用条件に従い提供されます。TIがこれらのリソースを提供することは、適用されるTIの保証または他の保証の放棄の拡大や変更を意味するものではありません。TIがカスタム、またはカスタマー仕様として明示的に指定していない限り、TIの製品は標準的なカタログに掲載される汎用機器です。

お客様がいかなる追加条項または代替条項を提案する場合も、TIはそれらに異議を唱え、拒否します。

Copyright © 2025, Texas Instruments Incorporated

最終更新日：2025年10月